

## پتروژنز توده‌های نفوذی غرب بانه (کردستان)

صدرالدین امینی، سیدعلی مظهری: دانشگاه تربیت معلم تهران  
جلیل قلمقاش: سازمان زمین شناسی و اکتشافات معدنی کشور

### چکیده

مجموعه توده‌های نفوذی بانه در شمال غربی استان کردستان وزون سنندج - سیرجان واقع شده است. این مجموعه در سنگ‌های دگرگونی درجه پایین کرتاسه تزریق شده و سن احتمالی آن کرتاسه پسین - پالنوسن است. این توده، از سه فاز نفوذی مجزا تشکیل گردیده است. دیوریت، بیوتیت گرانیت و گرانیت گارنت دار این سه فاز ماگمایی را شکل می‌دهند. دیوریت‌ها نخستین واحد تشکیل شده‌اند که در برخی مناطق توسط بیوتیت گرانیت قطع شده‌اند و در مناطق دیگر بر هم کنش بین این دو توده مشخص است. بنا بر این بیوتیت گرانیت همزمان یا کمی پس از دیوریت‌ها نفوذ کرده است. گرانیت گارنت دار جوان‌ترین واحد مجموعه است که معمولاً به صورت دایک در بیوتیت گرانیت نفوذ کرده است. در دیوریت‌ها کانی‌های هورنبلند، تیتانیت و مگنتیت وجود دارد،  $ASI < 1$  است، در نرم دیوپسید وجود دارد و میزان  $Na_2O+CaO$  و  $Si$  بالاست. این ویژگی‌ها پیشنهاد می‌کند که دیوریت‌ها در رده گرانیتوئیدهای نوع I قرار می‌گیرند. در بیوتیت گرانیت‌ها، وجود مسکوویت و بیوتیت فراوان و نیز ادخال‌های سرشار از میکا، و حضور گارنت در گرانیت‌های گارنت‌دار آن را جزء سری S قرار می‌دهد. همچنین  $ASI > 1$ ، کاندوم نورماتیو و میزان زیاد  $K_2O$  و  $Rb$  در این دو توده، مؤید این مطلب است. گرانیتوئیدهای بانه از نظر تکتونیکی در رده VAG (گرانیتوئیدهای قوس آتشفشانی) قرار می‌گیرند و دیوریت‌ها نیز متعلق به حاشیه فعال قاره‌ای هستند. با استفاده از داده‌های ژئوشیمیایی با قاطعیت نمی‌توان گفت که دیوریت‌ها از گوشته غنی شده بالای مناطق فرورانش یا از ذوب پوسته اقیانوسی فرورانده شده منشأ گرفته‌اند. بیوتیت گرانیت‌ها و گرانیت‌های گارنت دار از ذوب سنگ‌های رسوبی دگرگون شده حاصل شده‌اند. برخی بیوتیت گرانیت‌ها منشأ پلیتی دارند و بعضی دیگر، سنگ منشأ گری وکی؛ و گرانیت‌های گارنت‌دار حاصل ذوب‌بخشی پلیت‌ها هستند.

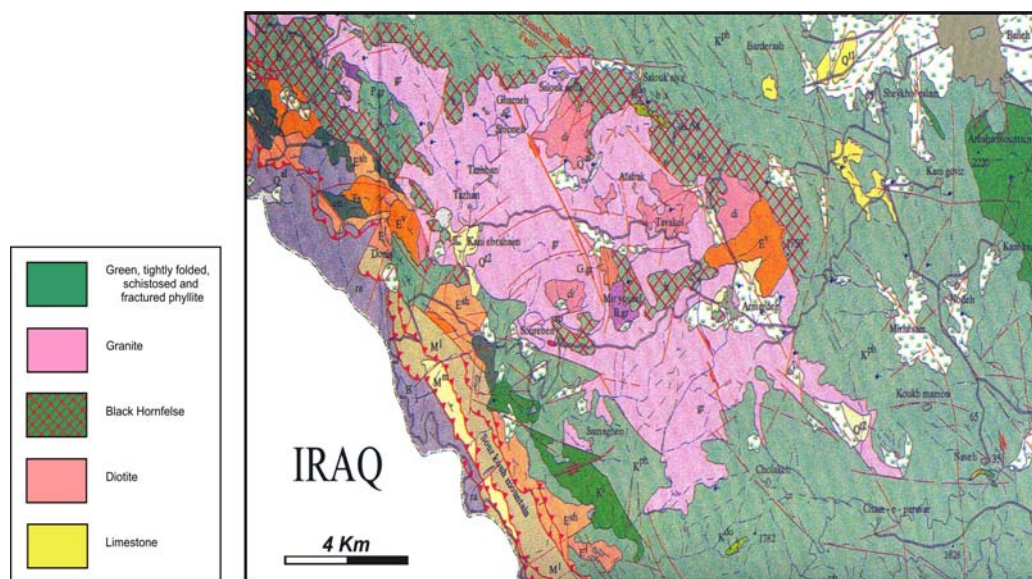
### مقدمه

زون سنندج - سیرجان در عین حال که یکی از جالب‌ترین و پیچیده‌ترین مناطق زمین‌شناسی ایران محسوب می‌گردد، هنوز مسائل مبهم فراوانی در مورد آن وجود دارد. این زون به صورت نوار طویل و دگرگون شده‌ای به موازات تراسه زاگرس واقع شده که مرز جنوب و جنوب غربی آن را تراسه زاگرس و حد شمال یا شمال شرقی این زون را حوضه ارومیه - دختر می‌سازد [۱]. منطقه مورد بررسی ما نیز در منتهی‌الیه شمال غربی این

زون واقع شده است و به علت شباهت بین توده‌های نفوذی این منطقه با سایر توده‌های زون سنندج - سیرجان، بررسی دقیق نفوذی‌های بانه می‌تواند در حل برخی مسائل زون سنندج - سیرجان مؤثر باشد. به علت مشکلات جغرافیایی، سیاسی و امنیتی که در این ناحیه وجود داشته است متأسفانه تاکنون فعالیت علمی مؤثری در این منطقه صورت نگرفته و آنچه در این جا ارائه می‌گردد، نخستین تلاش در این زمینه است که بدون شک خالی از اشکال نیست و به بررسی و پژوهش‌های دقیق و پی‌گیر بعدی نیازمند است.

### موقعیت زمین‌شناسی و جغرافیایی

توده نفوذی بانه در ۱۰ کیلومتری غرب شهر بانه و نزدیک به مرز کشور عراق واقع شده است. این مجموعه در سنگ‌های دگرگونی درجه پایین کرتاسه با ضخامت حدود ۱۵۰۰-۲۰۰۰ متر تزریق شده است. و بنا بر این سن احتمالی آن کرتاسه پسین - پالئوسن است [۲]. موقعیت توده در میان سنگ‌های دربرگیرنده در شکل ۱ مشخص شده است. مساحت این توده حدود ۳۰ کیلومترمربع است و دسترسی به آن از دو طریق امکان‌پذیر است: مسیر اول از طریق جاده جنوب غربی بانه و راه دیگر جاده بانه - سردشت در شمال غربی شهر بانه است.



شکل ۱- نقشه زمین‌شناسی منطقه بررسی شده، اقتباس از نقشه ۱:۱۰۰۰۰۰ بانه [۲]

### زمین‌شناسی صحرایی

مشاهدات صحرایی نشان می‌دهد که توده بانه حداقل طی ۳ مرحله جداگانه تشکیل یافته است. فازهای دیوریت، بیوتیت گرانیت و گرانیت گارنت‌دار بخش‌های مختلف این توده را شامل می‌شوند. قدیمی‌ترین واحد توده، دیوریت‌ها هستند که نفوذ بیوتیت گرانیت در انتهای تبلور دیوریت آغاز شده و پس از آن نیز ادامه یافته

است. برخی شواهد صحرایی تأیید کننده این موضوع عبارتند از:

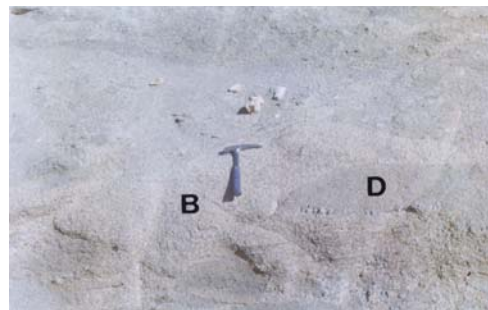
- در برخی مناطق ساخت‌هایی دیده می‌شود که از تأثیر این دو فاز بر یکدیگر حکایت می‌کند؛ مثل احاطه شدن دیوریت توسط بیوتیت گرانیت و تغییرات بافتی و کانی‌شناسی حاصل شده در این دو فاز (در بخش پتروگرافی به آن اشاره خواهد شد). این شواهد نشان می‌دهد که بیوتیت گرانیت قبل از انجماد کامل دیوریت جایگیری کرده است (شکل ۲ الف).

- در بسیاری از مناطق نیز مرزی کاملاً مشخص بین دیوریت و بیوتیت گرانیت دیده می‌شود به طوری که گرانیت، دیوریت را قطع کرده است (شکل ۲ ج). علاوه بر این، به طور محلی قطعات دیوریتی در داخل بیوتیت گرانیت دیده می‌شود (شکل ۲ ب)، اما هرگز قطعات گرانیتی در درون دیوریت دیده نمی‌شود که این شواهد نشانگر جوان‌تر بودن توده بیوتیت گرانیتی نسبت به دیوریت است.

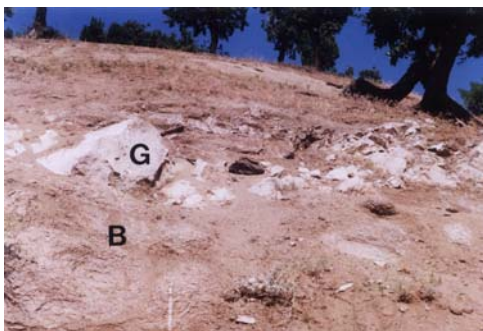
بیوتیت گرانیت‌ها بیش‌ترین حجم مجموعه نفوذی بانه را تشکیل می‌دهند. این توده موجب دگرگونی مجاورتی در سنگ میزبان شده است. انکلاوهای سرشار از میکا نیز در سرتاسر توده به وفور مشاهده می‌شود. سومین مرحله تشکیل توده بانه، نفوذ گرانیت‌های گارنت‌دار است که غالباً توده‌های بیوتیت گرانیتی را به صورت دایک قطع کرده است (شکل ۲ - د).



ب



الف



د



ج

شکل ۲ - الف) نمونه‌ای از برهم کنش بین توده‌های دیوریت و بیوتیت گرانیت ب) قطعات تیره رنگ دیوریت که درون بیوتیت گرانیت دیده می‌شود ج) مرز مشخص بین دیوریت و بیوتیت گرانیت د) نفوذ گرانیت گارنت‌دار که بیوتیت گرانیت‌ها را قطع کرده است  
 B=بیوتیت گرانیت    D=دیوریت    G=گرانیت گارنت دار

توده‌های نفوذی مشابه منطقه بانه را می‌توان در بسیاری از بخش‌های نیمه غربی زون سنندج- سیرجان مشاهده نمود که برای مثال می‌شود به دیوریت‌ها و بیوتیت‌های گرانیت‌های منطقه اشنویه اشاره کرد. تعیین سن به روش رادیومتری K-Ar نشان می‌دهد که سن دیوریت‌های اشنویه بین ۹۲ تا ۱۰۰ میلیون سال است و گرانیت‌های بیوتیت‌دار در حدود ۸۰ میلیون سال پیش تزریق شده اند که سن بین کرتاسه پیشین و کرتاسه پسین را مشخص می‌سازد [۳].

### پتروگرافی

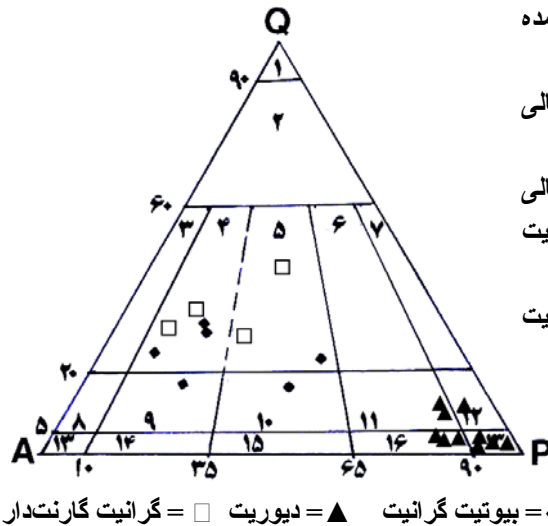
در طی بررسی‌های صحرایی از تمامی توده مورد نظر نمونه‌برداری منظم صورت گرفت و به منظور بررسی پتروگرافی از آن‌ها مقطع نازک تهیه شد. از میان این نمونه‌ها، ۲۱ مقطع شامل ۱۰ نمونه از سنگ‌های دیوریتی، ۷ نمونه از سنگ‌های گرانیتی بیوتیت‌دار و ۴ نمونه از سنگ‌های گرانیتی گارنت‌دار شمارش مدال شدند (جدول ۱). همان‌طور که در شکل ۳ دیده می‌شود، در نمودار Q-A-P [۱۱] نمونه‌های دیوریتی در محدوده دیوریت، کوارتز دیوریت، مونزو دیوریت و کوارتز مونزو دیوریت قرار می‌گیرند؛ سنگ‌های گرانیتی بیوتیت‌دار در حوزه سینیوگرانیت، مونزوگرانیت، کوارتز سینیوگرانیت و کوارتز مونزوینت جای می‌گیرند و سنگ‌های گرانیتی گارنت‌دار جزء سینیوگرانیت و مونزوگرانیت هستند.

**جدول ۱- ترکیب مدال توده‌های نفوذی بانه A- سنگ‌های دیوریتی که شامل دیوریت، کوارتز دیوریت، مونزو دیوریت و کوارتز مونزو دیوریت می‌شوند B- سنگ‌های گرانیتی بیوتیت‌دار (نمونه PB11 کوارتز سینیوگرانیت و نمونه PB9 کوارتز مونزوینت و سایر نمونه‌ها گرانیت هستند) C- سنگ‌های گرانیتی گارنت‌دار**

| A       |       |        |       |       |       |       |       |       |       |       |       |
|---------|-------|--------|-------|-------|-------|-------|-------|-------|-------|-------|-------|
| Modal % | PB12a | PB12b  | PB13  | PB14  | PB15  | PB21  | PB22  | PB27  | PB28  | PB29  | PB30  |
| Q       | 2.6   | 4.7    | 3     | 1.5   | 1.1   | 1.9   | 1.8   | 1.3   | 1.4   | 1     | 1.3   |
| Kf      | 10.4  | 11.7   | 3.3   | 6.6   | 1.7   | 5     | 1.5   | 6.2   | 4.8   | 5.3   | 6.1   |
| Plg     | 51.9  | 41.9   | 30.4  | 42.8  | 27.3  | 59.7  | 20.5  | 36.9  | 41.3  | 41.9  | 36.1  |
| Bio     | 3.2   | 15     | 7.8   | 1.4   | 3.2   | 2.5   | 0.8   | 8.6   | 5.8   | 0.8   | trace |
| Amph    | 28    | 26.5   | 48.9  | 47.1  | 60.3  | 30.35 | 66.9  | 47    | 46    | 51    | 55.3  |
| Tit     | 0.6   | 0.2    | 3.1   | 0.6   | 3.2   | 5.1   | trace | trace | trace | trace | 1.2   |
| Zir     |       | trace  | trace | trace | trace | trace | trace |       | trace | trace | trace |
| Ap      | 0.8   | trace  | trace | 0.5   | trace | trace | trace | trace | trace |       | trace |
| Opac    | 2.5   | -      | 3.2   | trace | -     | trace | 0.7   | -     | -     | trace | -     |
| Px      | -     | -      | -     | -     | -     | trace | -     | trace | 0.7   | -     | -     |
|         |       |        |       |       |       |       |       |       |       |       |       |
| B       |       |        |       |       |       |       |       |       |       |       |       |
|         |       | Modal% | PB4   | PB5   | PB9   | PB11  | PB23  | PB24  | PB31  |       |       |
|         |       | Q      | 12.8  | 22.1  | 10.8  | 14.5  | 29    | 20.7  | 31.3  |       |       |
|         |       | Kf     | 46.5  | 29.4  | 26.2  | 20.4  | 47.7  | 55.1  | 49    |       |       |
|         |       | Plg    | 15.8  | 23    | 26.8  | 30.8  | 17    | 10.3  | 17.7  |       |       |
|         |       | Bio    | 23.2  | 25.6  | 16    | 17.5  | 5.7   | 13.3  | 2     |       |       |
|         |       | Amph   | -     |       | 19    | 15    | -     | -     | -     |       |       |
|         |       | Mu     | -     | 0.8   | -     | -     | 0.5   | 0.6   | -     |       |       |

(ادامه جدول ۱)

|        |       |       |       |       |       |       |       |
|--------|-------|-------|-------|-------|-------|-------|-------|
| Tit    | 1.7   | -     | 0.7   | 0.3   | -     | -     | -     |
| Zir    | trace | trace | trace | trace | trace | trace | trace |
| Ap     | trace | trace | 0.5   | 0.4   | 0.3   | trace | trace |
| Opac   | -     | -     | -     | 1.1   | -     | -     | -     |
|        | -     | -     | C     | -     | -     | -     | -     |
| Modal% | PB8   | PB18  | PB18  | PB18  | PB25  |       |       |
| Q      | 27.5  | 43.7  | 27.4  | 27.4  | 30.9  |       |       |
| Kf     | 54.8  | 27.1  | 42.7  | 42.7  | 48.5  |       |       |
| Plg    | 9.2   | 26.2  | 23.5  | 23.5  | 14.3  |       |       |
| Bio    | 2     | 1.5   | 4.5   | 4.5   | 3.1   |       |       |
| Gt     | 5.2   | 1.2   | 1.5   | 1.5   | 3.2   |       |       |
| Mu     | 1.3   | 0.3   | 0.4   | 0.4   | -     |       |       |
| Zir    | trace | trace | trace | trace | trace |       |       |
| Ap     | trace | trace | trace | trace | trace |       |       |
| Opac   | trace | -     | -     | -     | -     |       |       |



شکل ۳- موقعیت سنگ‌های نفوذی منطقه بررسی شده در نمودار QAPF [۵]

- ۱- کوارتزولیت ۲- گرانیتونید غنی از کوارتز ۳- آکالی فلدسپار گرانیت ۴- سینوگرانیت ۵- مونزوگرانیت ۶- گرانودیوریت ۷- تونالیت ۸- کوارتز آکالی فلدسپار سینیت ۹- کوارتز سینیت ۱۰- کوارتز مونزونیت ۱۱- کوارتز مونزو دیوریت ۱۲- کوارتز دیوریت ۱۳- آکالی فلدسپار سینیت ۱۴- سینیت ۱۵- مونزونیت ۱۶- مونزو دیوریت ۱۷- دیوریت

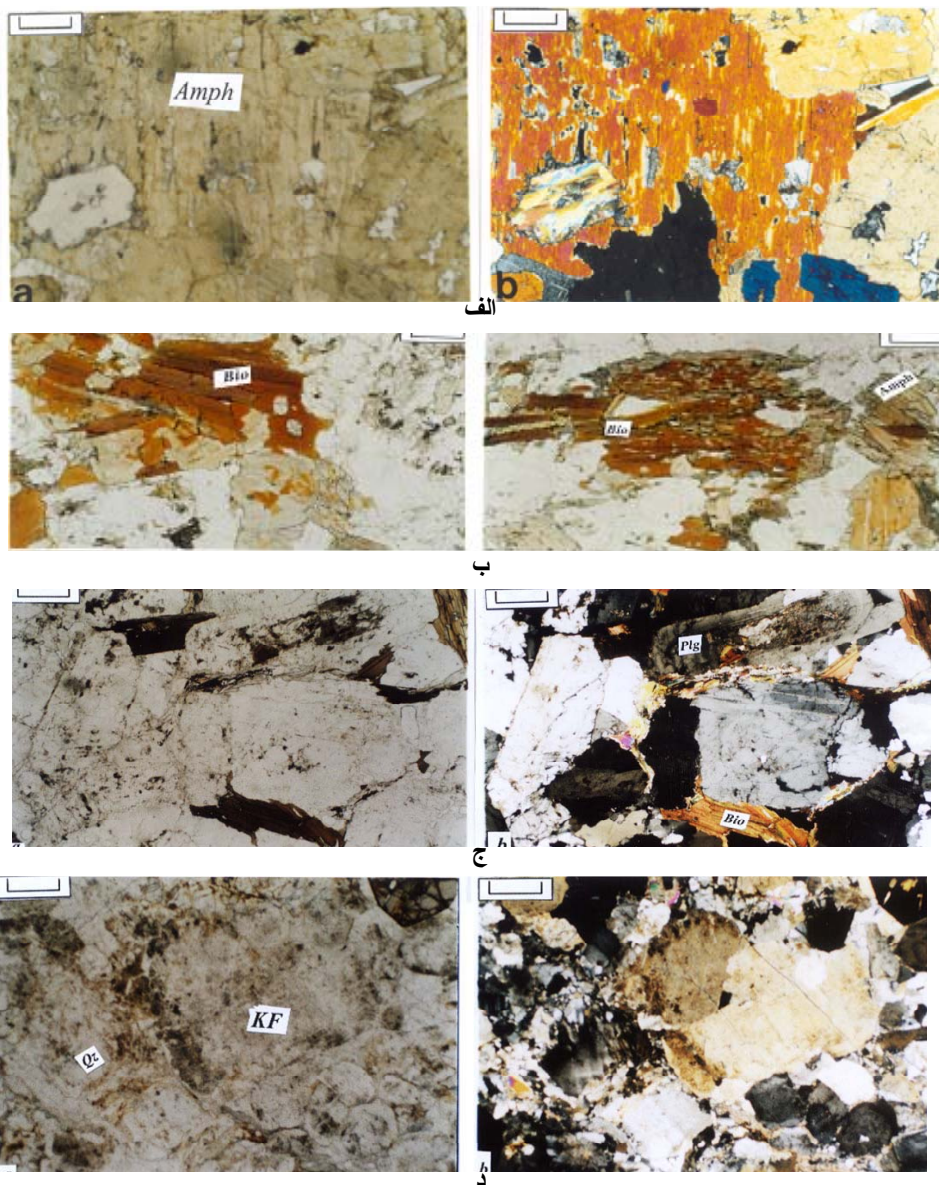
### پتروگرافی دیوریت‌ها

دیوریت‌ها را می‌توان به دو گروه تقسیم کرد: گروه اول دیوریت‌هایی هستند که تحت تأثیر نفوذ توده بیوتیت گرانیتی قرار نگرفته‌اند و گروه دوم متأثر از توده بیوتیت گرانیتی از نظر کانی‌شناسی تغییراتی حاصل کرده‌اند و شواهدی مبنی بر آمیزش ماگمایی<sup>۱</sup> در منطقه را نشان می‌دهند.

دیوریت‌های بدون آمیزش ماگمایی متوسط دانه تا درشت دانه (۲-۵ میلی‌متر) هستند که به ندرت ساخت ریزدانه (۲ میلی‌متر <) نیز در آن‌ها دیده می‌شود. کانی‌های اصلی آن‌ها شامل آمفیبول و فلدسپار است که بیش از ۸۰ درصد حجم سنگ‌ها را تشکیل داده است و کانی‌های فرعی عبارتند از بیوتیت، کلینوپیروکسن، آپاتیت، تیتانیت، کوارتز، زیرکن، اکسیدهای Fe-Ti، همچنین مسکوبیت، کانی‌های رسی و کلسیت به صورت ثانویه (شکل ۴ الف).

۱- Magma mingling

دیوریت‌های متأثر از آمیزش ماگمایی از نظر بافت و ساخت شبیه به گروه اول هستند؛ با این تفاوت که تحت تأثیر نفوذ گرانیت‌ها، تغییراتی از نظر کانی‌شناسی در آن‌ها حاصل شده است، به طوری که میزان کوارتز و بیوتیت آن‌ها افزایش یافته است و محدوده ترکیب مدال آن‌ها گسترده‌تر شده است. شمارش مدال این سنگ‌ها در محدوده دیوریت، کوارتز دیوریت، کوارتز مونزودیوریت و مونزودیوریت قرار می‌گیرند. تبدیل آمفیبول به بیوتیت تحت تأثیر توده گرانیتوئیدی در این سنگ‌ها کاملاً واضح است (شکل ۴ ب).



شکل ۴ - الف) نمونه‌ای از بافت دیوریت‌های بدور از تأثیر بیوتیت گرانیت مقیاس  $0.56 \text{ mm}$  (ب) نمونه‌ای از تبدیل آمفیبول به بیوتیت در دیوریت‌های متأثر از توده بیوتیت گرانیت مقیاس  $0.28 \text{ mm}$  (ج) نمونه‌ای از بافت بیوتیت گرانیت در توده بانه مقیاس  $0.56 \text{ mm}$  (د) نمونه‌ای از بافت گرانیت‌دار مقیاس  $0.56 \text{ mm}$   
 Amph = آمفیبول = Bio = بیوتیت = Plg = پلاژیوکلاز = KF = فلدسپار پتاسیم = a = نور PPL = b = نور XPL

## پتروگرافی بیوتیت گرانیت

وسیع‌ترین قسمت توده نفوذی بانه را واحد گرانیتوئیدی تشکیل داده است که خود شامل بخش‌های گوناگونی است از قبیل بیوتیت گرانیت، گرانیت مسکوویت دار، گرانیت مسکوویت و تورمالین دار و گرانیت آمفیبول دار که بیوتیت گرانیت نسبت به دیگران حجم زیادتری دارد؛ از این رو، از این واحد به نام بیوتیت گرانیت یاد می‌شود. کانی‌های اصلی این بخش شامل فلدسپار، کوارتزاست که پس از شمارش مدال این سنگ‌ها در محدوده سینیوگرانیت قرار گرفتند. بخش کوچکی از این توده که در مجاورت دیوریت قرار دارد، شامل گرانیت‌هایی می‌شود که آمفیبول حدود ۲۰ درصد حجم سنگ را تشکیل می‌دهد. این سنگ‌ها در نمودار Q-A-P در محدوده کوارتزمونزونیت جای می‌گیرند. کانی‌های فرعی و جزئی این مجموعه شامل بیوتیت، مسکوویت، آپاتیت، زیرکن، تیتانیت و کانی‌های اپیک است که کلریت، کانی‌های رسی و اکسیدهای آهن نیز در اثر دگرسانی حاصل شده‌اند.

## پتروگرافی گرانیت‌های گارنت‌دار

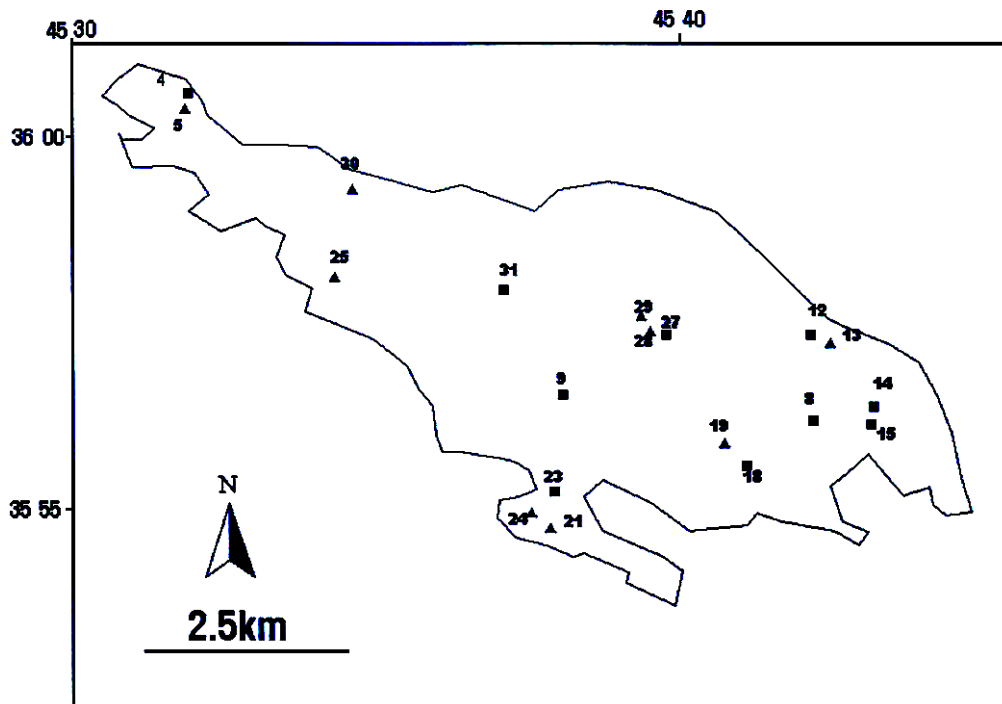
گرانیت‌های گارنت‌دار جدیدترین واحد توده‌اند که ظاهری کاملاً روشن دارند. دانه‌بندی آن‌ها متوسط دانه (۱-۳ میلی‌متر) است که دانه‌های گارنت قرمز تا سیامرنگ در آن به خوبی مشخص است. کانی‌های اصلی تشکیل دهنده این گروه کوارتز و فلدسپار است که فلدسپات آلکالن فراوان‌تر از پلاژیوکلاز است. کانی مافیک عمده گارنت است که ۱-۵ درصد حجم مدال سنگ‌ها را تشکیل داده است. کانی‌های فرعی دیگر عبارتند از: بیوتیت، مسکوویت، آپاتیت، زیرکن و کلریت و کانی‌های رسی حاصل دگرسانی هستند.

## ژئوشیمی

به منظور بررسی‌های ژئوشیمیایی بر روی توده نفوذی بانه، ۱۹ نمونه از سنگ‌های واحدهای گوناگون این توده (شامل ۹ دیوریت، ۶ بیوتیت گرانیت و ۴ گرانیت گارنت‌دار) انتخاب شد و تجزیه XRF از آن‌ها صورت پذیرفت. این کار در سازمان زمین‌شناسی و اکتشافات معدنی کشور انجام گرفت. از میان این نمونه‌ها، ۱۰ نمونه نیز برای تعیین کمی عناصر کم‌یاب خاکی به روش INAA در مرکز تحقیقات و تولید سوخت هسته‌ای اصفهان مورد تجزیه قرار گرفت (موقعیت نمونه‌های آنالیز شده در توده بر روی شکل ۵ مشخص شده است). برای تمایز بین میزان  $FeO$  و  $Fe_2O_3$  از نمودار میدل‌مست<sup>۱</sup>، [۱۲]، ۱۹۸۷، استفاده شد و مقدار هر یک از اکسیدهای آهن محاسبه گردید. نتایج این آنالیزها در جداول ۴-۲ قابل مشاهده است.

---

۱- Middlemost



شکل ۵- موقعیت نمونه‌های آنالیز شده در توده نفوذی بانه. داده‌های به دست آمده از آنالیز در جدول‌های ۲ تا ۴ با پسوند GB آورده شده‌اند

همان‌طور که در شکل ۶ مشاهده می‌شود سنگ‌های نفوذی بانه جزء مجموعه ساب آکالن و سری کالکوالکالن واقع می‌شوند. نمودار توزیع عناصر REE و نمودارهای عنکبوتی واحدهای مختلف توده بانه در شکل‌های ۷ و ۸ نشان داده شده است. شکل ۷ نشان می‌دهد که بیوتیت گرانیت نسبت به دو واحد دیگر  $(La/Yb)_N$  بالاتری دارد و محدوده آن نیز گسترده‌تر است (۵/۲-۷/۲). این نسبت در دیوریت‌ها ۵/۷-۵/۶۸ و در گرانیت‌های گارنت‌دار ۲/۵۶-۳/۵۵ است. نسبت بالای  $(La/Yb)_N$  می‌تواند نشان دهنده تفکیک بیش‌تر باشد [۱۴]، اما ذوب رسوبات دگرگونه به خصوص متاگری وک‌ها نیز می‌تواند باعث نسبت بالای LREE/HREE شود [۱۶].

نسبت La/Sm در دیوریت، بیوتیت گرانیت و گرانیت گارنت‌دار به ترتیب ۱/۲۸-۲/۷۷، ۲/۳۹-۶/۸۴ و ۳/۰۸-۳/۱۳ است. نسبت بالای MREE به LREE و HREE در دیوریت‌ها به واسطه وجود هورنبلند است. عناصر REE به خصوص MREE (از Sm تا Ho) در هورنبلندهای مذاب‌های فلسیک و حد واسط سازگار هستند [۱۴]. در نتیجه وجود هورنبلند فراوان در دیوریت می‌تواند باعث افزایش میزان MREE شود. در بیوتیت گرانیت‌ها نیز نمونه GB۹ که یک گرانیت آمفیبول دار است نیز میزان MREE زیاد دارد که دلیل گفته شده در این مورد نیز صدق می‌کند.

نمودارهای عنکبوتی (شکل ۸) نشان می‌دهد که P و Zr در هر سه واحد توده بانه انومالی مثبت نشان می‌دهند. نسبت به MORB، عناصر LIL (K, Rb, Sr) غنی‌شدگی نشان می‌دهند؛ در حالی که عناصر HFS



(Nb, Ti, Ta) تهی شده‌اند که این ویژگی یکی از مشخصات ماگماهای قوس آتشفشانی مناطق فرورانش است [۱۵]؛ هر چند آغستگی پوسته‌ای نیز می‌تواند باعث این امر گردد [۱۴]. وجود ایلمنیت و مگنتیت باعث کاهش آنومالی منفی Ti می‌شود [۱۴]، [۱۷]، که این امر در دیوریت‌ها دیده می‌شود. به طور کلی، روند تغییر عناصر در نمودار عنکبوتی بین سه واحد توده بانه مشابه هم هستند و تفاوت موجود ناشی از اختلاف میزان این عناصر در سنگ‌هاست که در جداول ۴-۲ مشخص است. تنها تفاوت بارز غنی‌شدگی بیش‌تر عناصر ناسازگار LIL بیوتیت گرانیت و گرانیت گارنت‌دار نسبت به دیوریت‌ها است که می‌تواند نشان‌دهنده نقش پوسته در تشکیل این ماگماها باشد.

### جایگاه تکتونیکی

با تصویر کردن داده‌های حاصل از آنالیز شیمیایی نمونه‌های توده بانه بر روی نمودارهای مختلف سعی شد تا حد امکان جایگاه تکتونیکی فازهای مختلف توده بانه مشخص گردد. با استفاده از نمودارهای پیرس [۱۳]. گرانیتوئیدها جزو قوس آتشفشانی حاشیه فعال قاره‌ای (VAG) قرار می‌گیرند (شکل ۱۰). از آنجا که این نمودارها برای سنگ‌های نفوذی با بیش از ۵٪ مدال کوارتز به کار می‌رود و بیش‌تر دیوریت‌های بانه کم‌تر از این مقدار کوارتز دارند، از نمودار  $MgO-FeO-Al_2O_3$  [۱۴] برای آن‌ها استفاده گردید (شکل ۹). این نمودار نیز محیط تکتونیکی دیوریت‌ها را حاشیه فعال قاره ای نشان می‌دهد.

### پتروژنز توده بانه

#### پتروژنز دیوریت‌ها

دیوریت‌های توده بانه دارای کانی‌های هورنبلند، تیتانینت و مگنتیت،  $ASI < 1$ ، دیوپسیدنورماتیت و میزان بالای  $Na_2O, CaO$  و  $Sr$  هستند که این خصوصیات در رده‌بندی کلی گرانیتوئیدها (چپل و وایت<sup>۱</sup>، ۱۹۹۲، ۲۰۰۱) آن‌ها را در رده گرانیتوئیدهای نوع I قرار می‌دهد؛ یعنی نشان می‌دهد این دیوریت‌ها دارای منشأ ماگمایی است. از نظر جایگاه تکتونیکی این دیوریت‌ها متعلق به قوس آتشفشانی مناطق فرورانش هستند. برای تشکیل این دیوریت‌ها دو منشأ قابل ذکر است [۱۵]:

۱- ذوب‌بخشی آیزدایی<sup>۲</sup> پوسته اقیانوسی فرورانده شده ۲- ذوب گونه گوشته‌ای متاسوماتیز<sup>۳</sup> بالای صفحه فرورانش.

برای تشخیص دقیق منشأ دیوریت‌ها پژوهش‌های ایزوتوپی لازم است؛ اما با توجه به برخی شواهد نیز می‌توان منشأ احتمالی دیوریت‌ها را حدس زد. آزمایش‌های تجربی (وولف و ویلی<sup>۴</sup>، ۱۹۹۴؛ رپ<sup>۵</sup>، ۱۹۹۵؛ به نقل از آلتر<sup>۶</sup> و

۱-Chappel and White      ۲ - Dehydration partial melting      ۳ -Metasomatized mantle wedge melting  
۴- Wolf and Wyllie      ۵ - Rapp      ۶ - Alther

دیگران [۵] نشان می‌دهد که برای تولید مذاب متآلومین با سیلیس پایین (کمتر از ۵۸٪ وزنی) از طریق ذوب آبزدايي ترکیبات متبازالتی به دماهایی حدود ۱۱۰۰ درجه سانتی‌گراد نیاز است. همچنین این مذاب‌ها معمولاً ۴۴ <[مولار FeO<sub>t</sub> = ۰/۹ MgO/MgO + ۱۰۰×Mg#] و Na<sub>2</sub>O بالا (>۴/۳wt%) دارند [۵]. دیوریت‌های منطقه بررسی شده دارای Mg# بالا و Na<sub>2</sub>O پایین هستند (جدول ۲). همچنین دمای تشکیل دیوریت‌های بانه بر اساس ژئوترموبارومتری Al هورنبلند، ۷۴۸-۶۹۷ درجه سانتی‌گراد برآورد شده است [۴]، که این دما بسیار پایین‌تر از دمای لازم برای تشکیل ترکیبات حاصل از ذوب متبازالت‌های پوسته اقیانوسی است.

دیگرام‌های عنکبوتی (شکل‌های ۸ و ۱۱) نشان می‌دهد که میزان عناصر ناسازگار Ba، K و Rb در دیوریت‌های بانه بالا است. اما از سوی دیگر عناصر یادشده می‌توانند در پوسته اقیانوسی فرورو نیز غنی‌شدگی حاصل کنند. از این رو به طور حتم نمی‌توان گفت که دیوریت‌های بانه از گوشته غنی شده بالای صفحه فرورانش منشأ گرفته‌اند. همچنین تلفیقی از هر دو فرایند (ذوب‌بخشی گوه گوشته‌ای و ذوب‌بخشی آبزدايي پوسته اقیانوسی) می‌تواند موجب تشکیل دیوریت‌های کالک آکالن گردد که برای مثال می‌توان از دیوریت‌های شرق نیجریه نام برد [۸]، بنا بر این برای تشخیص دقیق منشأ، پژوهش‌های ایزوتوپی مورد نیاز است.

#### پتروژنر بیوتیت گرانیت و گرانیت گارنت‌دار

در بیوتیت گرانیت‌ها وجود مسکوویت و بیوتیت فراوان و نیز ادخال‌های سرشار از میکا و حضور گارنت در گرانیت‌های گارنت‌دار آن‌ها را جز سری S رده‌بندی سنگ‌های گرانیتوئیدی (چپل و وایت، ۱۹۹۲، ۲۰۰۱، [۶] و [۷]) قرار می‌دهد. همچنین  $ASI > 1$ ، کردندوم نورماتوو و میزان بالای K<sub>2</sub>O و Rb در این دو واحد، مؤید این مطلب است.

گرانیتوئیدهای نوع S حاصل ذوب‌بخشی رسوبات پوسته‌ای‌اند. برای تعیین سنگ منشأ مذاب‌های حاصل از ذوب‌بخشی آلترو و دیگران (۲۰۰۰) [۵] نموداری ارائه کرده‌اند. داده‌های ژئوشیمیایی نمونه‌های واحدهای بیوتیت گرانیتی و گرانیت گارنت‌دار منطقه بررسی شده در این نمودار پلات گردید (شکل ۱۲). همان‌گونه که در شکل مشخص است، سنگ‌ها در محدوده مذاب‌های حاصل از سنگ‌های متاگری وکی و متاپلیتی قرار می‌گیرند. گرانیت‌های گارنت‌دار (به جز نمونه GB ۱۸) در محدوده متاپلیت‌ها واقع می‌شوند و در بیوتیت گرانیت‌ها نمونه GB ۲۳ و GB ۳۱ در محدوده متاپلیت و نمونه‌های GB ۴، GB ۵ و GB ۲۴ در محدوده متاگری وک قرار می‌گیرد و تنها نمونه استثنا GB ۹ است.

جدول ۲- نتایج آنالیز XRF و INAA از دیوریت‌های توده بانه  
(آنالیز INAA از نمونه‌هایی که با \* مشخص شده صورت گرفته است)

| oxides(%)    | GB12*  | GB13  | GB14*  | GB15*  | GB21   | GB27* | GB28  | GB29  | GB30   |
|--------------|--------|-------|--------|--------|--------|-------|-------|-------|--------|
| SiO2         | 58.92  | 60.48 | 58.34  | 58.12  | 57.58  | 57.43 | 57.14 | 57.89 | 57.98  |
| TiO2         | 0.96   | 0.98  | 0.98   | 0.91   | 0.98   | 0.87  | 0.97  | 0.69  | 0.81   |
| Al2O3        | 16.98  | 15.67 | 16.63  | 16.12  | 16.31  | 16.17 | 16.6  | 16.39 | 16.09  |
| Fe2O3        | 2.82   | 2.77  | 2.79   | 3.29   | 3.05   | 3.26  | 3.16  | 2.98  | 3.1    |
| FeO          | 3.29   | 3.13  | 3.27   | 3.57   | 3.43   | 3.52  | 3.56  | 3.23  | 3.48   |
| MnO          | 0.12   | 0.11  | 0.19   | 0.08   | 0.09   | 0.16  | 0.12  | 0.11  | 0.67   |
| MgO          | 3.12   | 2.17  | 4.07   | 3.29   | 3.98   | 4.63  | 4.65  | 4.04  | 4.9    |
| CaO          | 5.45   | 4.58  | 6.38   | 6.39   | 6.54   | 5.94  | 5.57  | 6.15  | 5.88   |
| Na2O         | 3.76   | 3.34  | 3.5    | 3.43   | 3.89   | 3.54  | 3.67  | 3.87  | 3.71   |
| K2O          | 1.98   | 1.89  | 1.93   | 1.95   | 2.01   | 2.39  | 2.78  | 2.5   | 2.43   |
| P2O5         | 0.41   | 0.43  | 0.56   | 0.79   | 0.46   | 0.28  | 0.29  | 0.25  | 0.18   |
| L.O.I        | 0.81   | 1.36  | 1.25   | 1.46   | 1.73   | 1.33  | 1.19  | 0.89  | 0.81   |
| total        | 98.62  | 96.91 | 99.89  | 99.4   | 100.05 | 99.52 | 99.7  | 98.99 | 100.04 |
| traces(ppm)_ |        |       |        |        |        |       |       |       |        |
| Ba           | 345    | 356   | 320    | 348    | 430    | 312   | 336   | 306   | 344    |
| Rb           | 65     | 73    | 54     | 47     | 49     | 56    | 57    | 45    | 54     |
| Sr           | 345    | 333   | 379    | 426    | 433    | 397   | 401   | 394   | 395    |
| Y            | 32     | 30    | 26     | 28     | 25     | 27    | 21    | 26    | 31     |
| Zr           | 165    | 156   | 166    | 149    | 145    | 119   | 107   | 103   | 116    |
| Nb           | 7.6    | 8.7   | 6.3    | 8.5    | 7.5    | 8.2   | 8.4   | 6.4   | 6.2    |
| Hf           | <156   | 6.7   | 4.61   | 2.68   | 5.4    | 3.78  | 3.7   | 3.2   | 4.5    |
| Cs           | 0.56   | 0.54  | 0.9    | 0.79   | 0.98   | 0.78  | 0.81  | 0.48  | 0.78   |
| Sc           | 21     | 25    | 19     | 34     | 24     | 28    | 23    | 32    | 25     |
| Ta           | 1.1    | 1.2   | 0.4    | 0.854  | 0.65   | 0.464 | 0.74  | 0.79  | 0.89   |
| Ga           |        |       |        |        |        |       |       |       |        |
| La           | 1.83   | 23    | 14.93  | 13.01  | 32     | 16.25 | 27    | 26    | 24     |
| Ce           | <5.54  | 43    | 36.5   | 31.7   | 46     | 46.01 | 46    | 39    | 40     |
| Pr           | <9.4   |       | <13    | 6.8    |        | <13   |       |       |        |
| Nd           | 31     | 30    | 42     | 23.9   | 36     | 25.6  | 31    | 36    | 33     |
| Sm           | 0.89   | 6.9   | 3.41   | 2.96   | 5.7    | 4.52  | 5.4   | 6.6   | 5.8    |
| Eu           | 0.64   | 3.3   | 0.973  | 1.04   | 2.6    | 0.648 | 2.8   | 2.6   | 2.9    |
| Gd           | <5.7   |       | <9.2   | <6.2   |        | <6.7  |       |       |        |
| Tb           | <0.43  | 0.56  | <0.491 | <0.39  | 0.61   | 0.631 | 0.58  | 0.71  | 0.6    |
| Ho           | 0.194  |       | 0.579  | <0.251 |        | <0.28 |       |       |        |
| Tm           | 1.48   |       | 1.47   | 1.34   |        | 1.1   |       |       |        |
| Yb           | 2.4    | 2.1   | 1.75   | 1.83   | 1.4    | 2.59  | 1.5   | 1.3   | 1.7    |
| Lu           | <0.189 |       | 0.282  | 0.258  |        | 0.32  |       |       |        |
| A/CNK        | 0.93   | 0.99  | 0.86   | 0.83   | 0.8    | 0.84  | 0.87  | 0.8   | 0.83   |
| A/NK         | 2.04   | 2.08  | 2.12   | 2.08   | 1.9    | 1.92  | 1.84  | 1.75  | 1.84   |
| Mg#          | 50.3   | 42.1  | 57     | 48.7   | 54.9   | 57.5  | 57.8  | 56.3  | 59.6   |
| c.l.p.w norm |        |       |        |        |        |       |       |       |        |
| Q            | 13.65  | 21.92 | 12.29  | 14.2   | 9.46   | 9.18  | 7.12  | 8.22  | 7.75   |
| C            |        | 0.74  |        |        |        |       |       |       |        |
| Or           | 11.97  | 11.7  | 11.57  | 11.78  | 12.09  | 14.4  | 16.69 | 15.07 | 14.48  |
| Ab           | 32.49  | 29.54 | 29.99  | 29.6   | 33.44  | 30.57 | 31.49 | 33.34 | 31.6   |
| An           | 24.09  | 21.15 | 24.25  | 23.27  | 21.43  | 21.52 | 20.88 | 20.31 | 20.19  |
| Di           | 0.88   |       | 3.6    | 3.5    | 7.02   | 5.43  | 4.34  | 7.42  | 6.53   |
| Hy           | 9.95   | 7.82  | 11.07  | 9.15   | 9.15   | 11.89 | 12.32 | 9.35  | 12.99  |

جدول ۳- نتایج آنالیز XRF و INAA از بیوتیت گرانیت‌های توده بانه  
(آنالیز INAA از نمونه‌هایی که با \* مشخص شده صورت گرفته است)

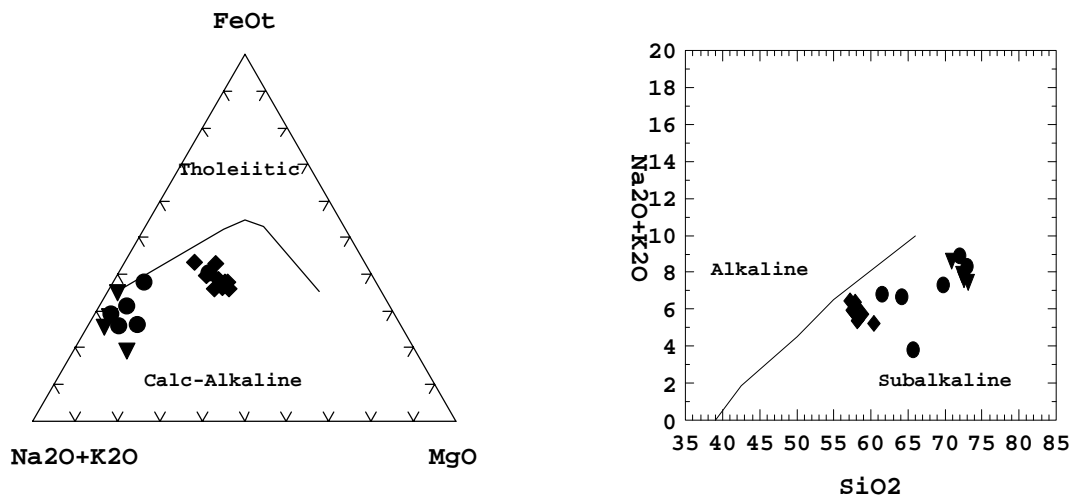
| oxides(%)    | GB4*   | GB5    | GB9*   | GB23* | GB24  | GB31*  |
|--------------|--------|--------|--------|-------|-------|--------|
| SiO2         | 61.57  | 64.21  | 65.78  | 72.99 | 69.81 | 71.97  |
| TiO2         | 0.63   | 0.9    | 0.84   | 0.23  | 0.42  | 0.45   |
| Al2O3        | 19.98  | 19.9   | 16.91  | 13.03 | 14.78 | 12.76  |
| Fe2O3        | 2.56   | 1.46   | 1.81   | 2.17  | 2.08  | 2.03   |
| FeO          | 2.45   | 1.52   | 2.39   | 1.71  | 1.85  | 1.61   |
| MnO          | 0.13   | 0.08   | 0.12   | 0.09  | 0.15  | 0.14   |
| MgO          | 0.93   | 1.25   | 2.14   | 0.47  | 0.79  | 0.98   |
| CaO          | 4.34   | 4.07   | 4.66   | 0.44  | 2.22  | 0.69   |
| Na2O         | 4.97   | 4.84   | 2.77   | 3.19  | 3.59  | 3.14   |
| K2O          | 1.87   | 1.85   | 1.05   | 5.15  | 3.73  | 5.72   |
| P2O5         | 0.37   | 0.2    | 0.23   | 0.18  | 0.16  | 0.13   |
| L.O.I        | 0.44   | 0.45   | 1.34   | 0.14  | 0.38  | 0.33   |
| total        | 100.24 | 100.73 | 100.04 | 99.79 | 99.96 | 99.95  |
| traces(ppm)_ |        |        |        |       |       |        |
| Ba           | 483    | 415    | 401    | 508   | 489   | 423    |
| Rb           | 193    | 133    | 186    | 117   | 155   | 165    |
| Sr           | 283    | 233    | 271    | 227   | 298   | 321    |
| Y            | 34     | 35     | 31     | 38    | 37    | 31     |
| Zr           | 200    | 234    | 220    | 247   | 203   | 201    |
| Nb           | 10     | 20     | 14     | 18    | 14    | 11     |
| Hf           | 8.6    | 7.8    | 3.37   | 1.45  | 5.9   | 2.35   |
| Cs           |        |        |        |       |       |        |
| Sc           |        |        |        |       |       |        |
| Ta           | 0.599  | 0.97   | 0.99   | 0.544 | 0.78  | 0.501  |
| Ga           | 22     | 25     | 33     | 23    | 18    | 24     |
| La           | 53.76  | 28     | 10.27  | 4.72  | 35    | 20.52  |
| Ce           | 92.8   | 43     | 18.6   | 11.72 | 41    | 41.4   |
| Pr           | <30    |        | <21    | <19   |       | <20    |
| Nd           | 28.2   |        | 14.2   | 6.9   |       | 12.5   |
| Sm           | 4.94   | 6.5    | 2.31   | 1.24  | 6     | 2.44   |
| Eu           | 1.24   |        | 1.25   | 0.102 |       | 0.406  |
| Gd           | 8.12   |        | <6.3   | <4.3  |       | 1.78   |
| Tb           | 0.363  |        | 0.498  | 0.265 |       | 0.289  |
| Ho           | <0.582 |        | 0.448  | 0.21  |       | <0.434 |
| Tm           | 0.75   |        | 1.16   | 0.789 |       | 0.573  |
| Yb           | 0.503  |        | 1.22   | 1.19  |       | 0.82   |
| Lu           | 0.145  |        | 0.266  | 0.212 |       | 0.114  |
| A/CNK        | 1.1    | 1.15   | 1.17   | 1.12  | 1.06  | 1.01   |
| A/NK         | 1.96   | 2      | 2.92   | 1.2   | 1.48  | 1.16   |
| c.l.p.w norm |        |        |        |       |       |        |
| Q            | 15.1   | 18.77  | 32.7   | 33.15 | 28.69 | 28.96  |
| C            | 2.67   | 2.94   | 3.26   | 1.79  | 1.13  | 0.41   |
| Or           | 11.08  | 10.91  | 6.29   | 30.57 | 22.16 | 33.96  |
| Ab           | 42.09  | 40.79  | 23.72  | 27.06 | 30.47 | 26.64  |
| An           | 19.41  | 18.98  | 22.07  | 1.13  | 10.12 | 2.67   |
| Di           |        |        |        |       |       |        |
| Hy           | 3.92   | 3.37   | 7.17   | 2.32  | 3.25  | 3.26   |
| Mt           | 3.72   | 2.11   | 2.66   | 3.16  | 3.03  | 2.95   |
| Ilm          | 1.2    | 1.71   | 1.62   | 0.44  | 0.8   | 0.86   |
| Ap           | 0.81   | 0.44   | 0.51   | 0.39  | 0.35  | 0.28   |

جدول ۴- نتایج آنالیز XRF و INAA از گرانیت‌های گارنت‌دار توده بانه  
(آنالیز INAA از نمونه‌هایی که \* مشخص شده صورت گرفته است)

| oxides(%)                      | GB8*  | GB18*  | GB19  | GB25  |
|--------------------------------|-------|--------|-------|-------|
| SiO <sub>2</sub>               | 70.85 | 73.12  | 72.52 | 72.24 |
| TiO <sub>2</sub>               | 0.67  | 0.33   | 0.3   | 0.34  |
| Al <sub>2</sub> O <sub>3</sub> | 14.9  | 13.37  | 13.06 | 14.01 |
| Fe <sub>2</sub> O <sub>3</sub> | 1.87  | 1.17   | 2.49  | 1.92  |
| FeO                            | 1.48  | 1.04   | 2.03  | 1.63  |
| MnO                            | 0.12  | 0.07   | 0.09  | 0.13  |
| MgO                            | 0.52  | 1.37   | 0.3   | 0.47  |
| CaO                            | 0.48  | 1.67   | 0.86  | 0.88  |
| Na <sub>2</sub> O              | 2.64  | 3.52   | 3.44  | 3.17  |
| K <sub>2</sub> O               | 5.98  | 3.91   | 4.19  | 4.75  |
| P <sub>2</sub> O <sub>5</sub>  | 0.16  | 0.16   | 0.19  | 0.15  |
| L.O.I                          | 0.19  | 0.28   | 0.29  | 0.16  |
| total                          | 99.86 | 100.01 | 99.76 | 99.85 |
| traces(ppm)_                   |       |        |       |       |
| Ba                             | 501   | 428    | 441   | 484   |
| Rb                             | 168   | 188    | 189   | 135   |
| Sr                             | 229   | 250    | 224   | 259   |
| Y                              | 35    | 43     | 40    | 42    |
| Zr                             | 242   | 213    | 238   | 262   |
| Nb                             | 11    | 18     | 12    | 19    |
| Hf                             | 1.85  | 2.01   | 7.8   | 8.9   |
| Cs                             |       |        |       |       |
| Sc                             |       |        |       |       |
| Ta                             | 0.65  | 0.744  | 0.69  | 0.83  |
| Ga                             | 31    | 21     | 20    | 24    |
| La                             | 6.9   | 4.53   | 32    | 25    |
| Ce                             | 14.6  | 8.88   | 48    | 46    |
| Pr                             | <17   | <21    |       |       |
| Nd                             | <21   | <22    |       |       |
| Sm                             | 1.39  | 0.92   | 9     | 9.3   |
| Eu                             | <0.44 | <0.421 |       |       |
| Gd                             | <4.4  | <4.2   |       |       |
| Tb                             | 0.351 | 0.614  |       |       |
| Ho                             | 0.175 | 0.146  |       |       |
| Tm                             | 0.754 | 0.75   |       |       |
| Yb                             | 1.31  | 1.19   |       |       |
| Lu                             | 0.172 | 0.167  |       |       |
| A/CNK                          | 1.27  | 1.02   | 1.11  | 1.17  |
| A/NK                           | 1.38  | 1.5    | 1.28  | 1.35  |
| c.l.p.w norm                   |       |        |       |       |
| Q                              | 31.19 | 32.06  | 34.26 | 33.04 |
| C                              | 3.55  | 2.25   | 1.71  | 2.37  |
| Or                             | 35.49 | 22.75  | 24.92 | 28.18 |

سیلوستر (۱۹۹۸) [۱۶]، نشان داد که مذاب‌های گرانیتی مشتق شده از سنگ‌های پلیتی که غنی از رس و فقیر از پلاژیوکلاز (< ۵%) هستند نسبت به مذاب‌های مشتق شده از سنگ‌های پسامیتی (ماسه سنگ‌های فلدسپاتیک غنی از رس یا گری وک‌ها) که فقیر از رس و غنی از پلاژیوکلاز (> ۲۵%) هستند، نسبت CaO/Na<sub>2</sub>O

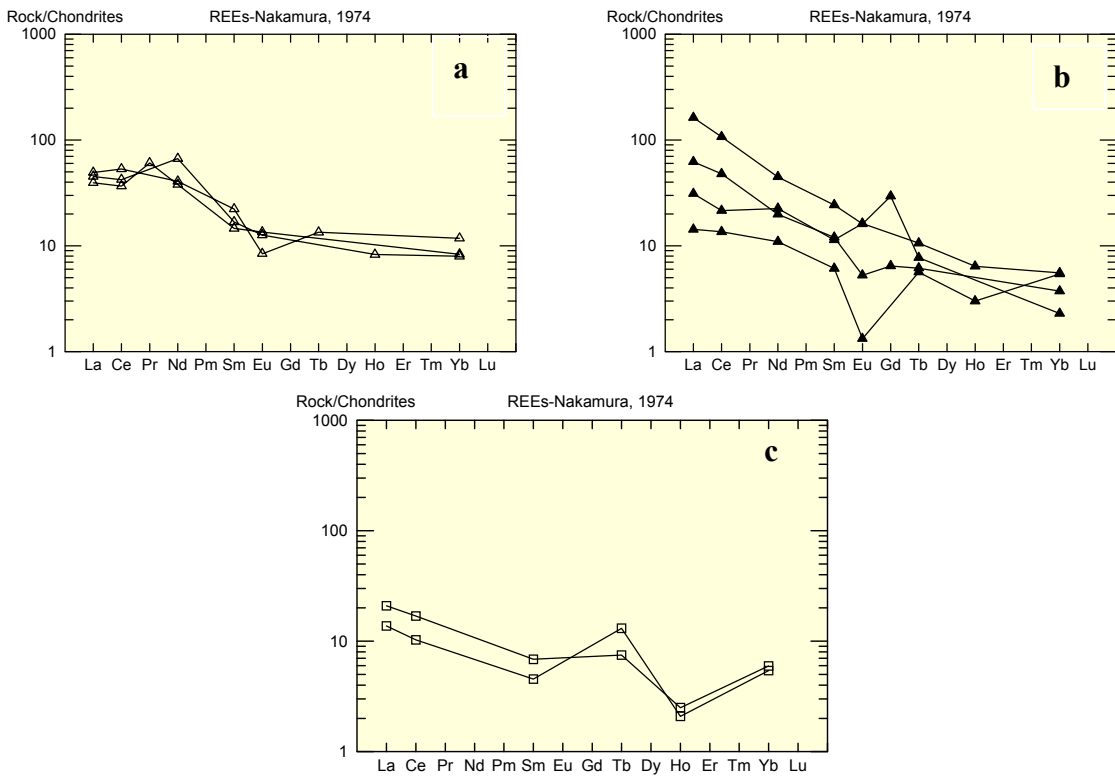
متفاوت دارند. این نسبت‌ها در مذاب‌های مشتق شده از پلیت (<math>0.3</math>) و در مذاب‌های مشتق شده از پسامیت گری وکی (>0.3) است. میزان این نسبت در گرانیت‌های بانه در جدول ۵ آورده شده است. همان‌طور که مشخص است نمونه‌هایی که در شکل ۱۲ در منطقه متاپلیتی قرار می‌گیرند دارای  $CaO/Na_2O < 0.3$  و آن‌هایی که در ناحیه متاگری وک واقع شوند نسبت  $CaO/Na_2O > 0.3$  دارند، در مورد نمونه ۹ GB نسبت بالای غیرعادی  $CaO/Na_2O$  دیده می‌شود که میزان بالای  $CaO$  را می‌توان به تأثیر فاز دیوریتی بر این سنگ مربوط دانست، چون این نمونه تحت تأثیر دیوریت‌ها دارای هورنبلند چشمگیری است.



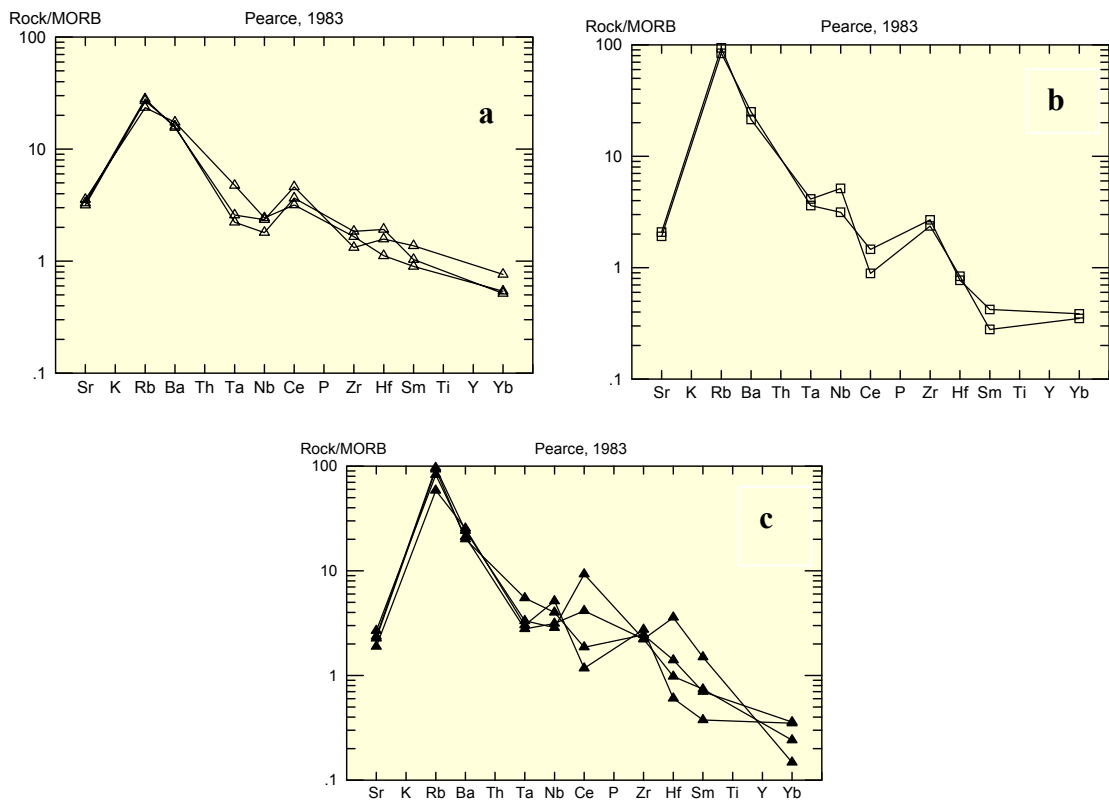
شکل ۶- تعیین سری ماگمایی سنگ‌های نفوذی بانه با استفاده از دیاگرام‌های سیلیس - آلكالی و AFM (ایروین و باراگر، ۱۹۷۱)  
 ◆ = دیوریت ● = بیوتیت گرانیت ▼ = گرانیت گارنت‌دار

هریس و اینگر<sup>۱</sup> (۱۹۹۲) [۹]، نشان دادند که نمونه‌های حاصل از ذوب‌بخشی متاگری وک‌ها نسبت به آن‌هایی که از ذوب‌بخشی متاپلیت حاصل شده‌اند دارای  $(La/Yb)_N$  بالاتری‌اند. با مقایسه نمودارهای توزیع عناصر REE در شکل ۷ می‌توان فهمید که بیوتیت گرانیت‌هایی که حاصل ذوب‌بخشی متاگری وک هستند  $(La/Yb)_N$  بالاتری نسبت به بیوتیت گرانیت‌ها و گرانیت‌های گارنت‌دار حاصل از ذوب‌بخشی متاپلیت هستند. همچنین این نمودار نشان می‌دهد که نمونه GB۱۸ که در شکل ۱۲ در محدوده متاگری وک واقع شده دارای  $(La/Yb)_N$  پایین است که بیشتر نشان دهنده منشأ متاپلیتی است تا متاگری وکی. سیلوستر (۱۹۹۸) نشان داد که اگر در منشأ متاپلیتی مواد درون لایه‌ای آذرین مافیک وجود داشته باشد، میزان  $CaO$  به طور مشخصی افزایش می‌یابد و می‌توان احتمال داد که سنگ منشأ نمونه GB ۱۸ پلیت‌های اختلاط یافته با سنگ‌های مافیک باشد.

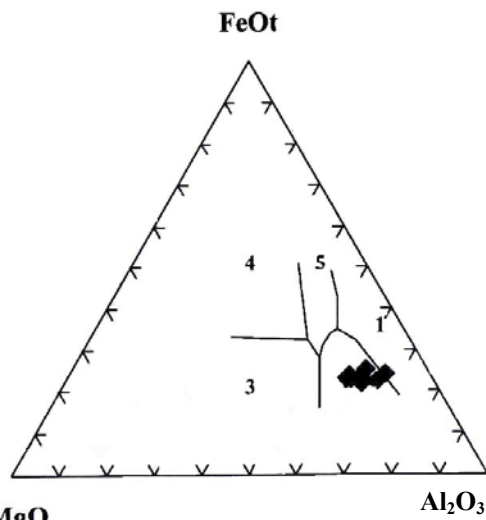
۱- Harris and Inger



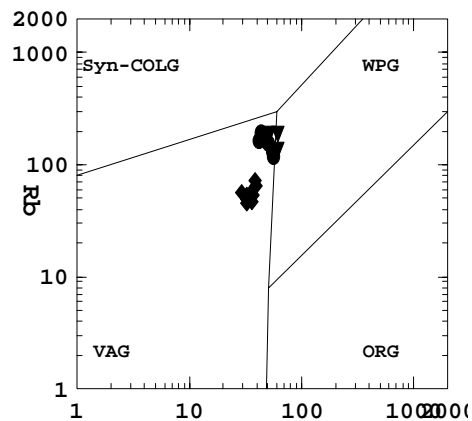
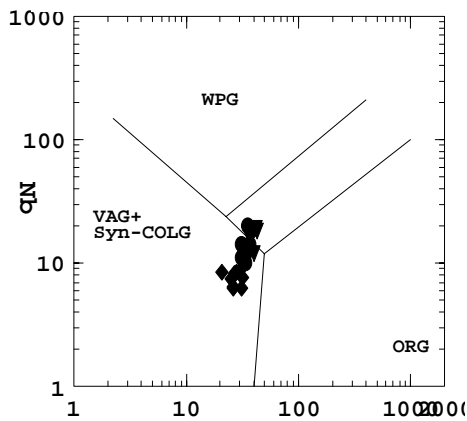
شکل ۷- توزیع عناصر REE در توده باهه (a) دیوریت (b) بیوتیت گرانیت (c) گرانیت گارنت‌دار



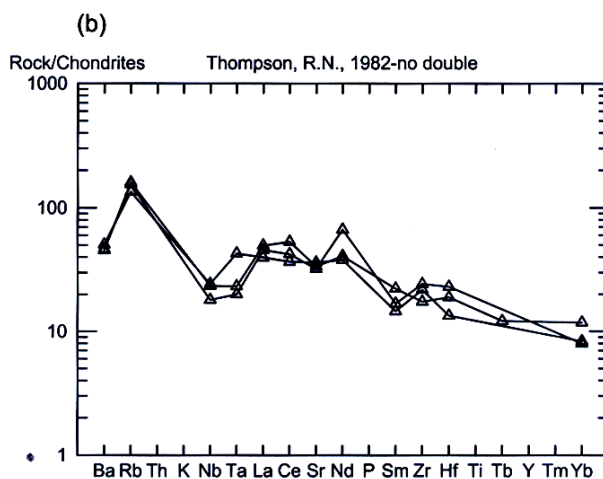
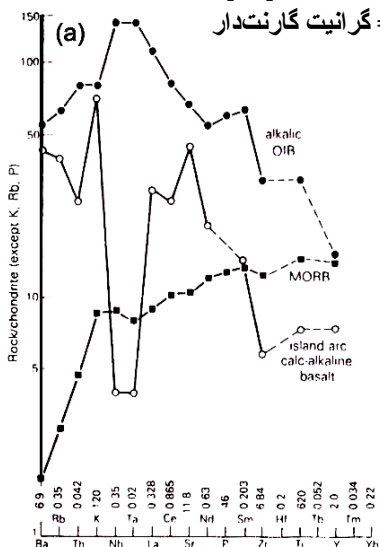
شکل ۸- نمودار عنکبوتی واحدهای مختلف توده باهه (a) دیوریت (b) بیوتیت گرانیت (c) گرانیت گارنت‌دار



شکل ۹- نمودار  $MgO-FeO-Al_2O_3$  متمایز محیط تکتونیکی سنگ‌های بازالتی ساب آکا آندزیت‌های بازالتی [14]: ۱- جزیره مرکز گستر - جزایر قوسی و حاشیه فعال قاره ای ۳-ORB - جزایر اقیانوسی ۵- محیط قاره‌ای

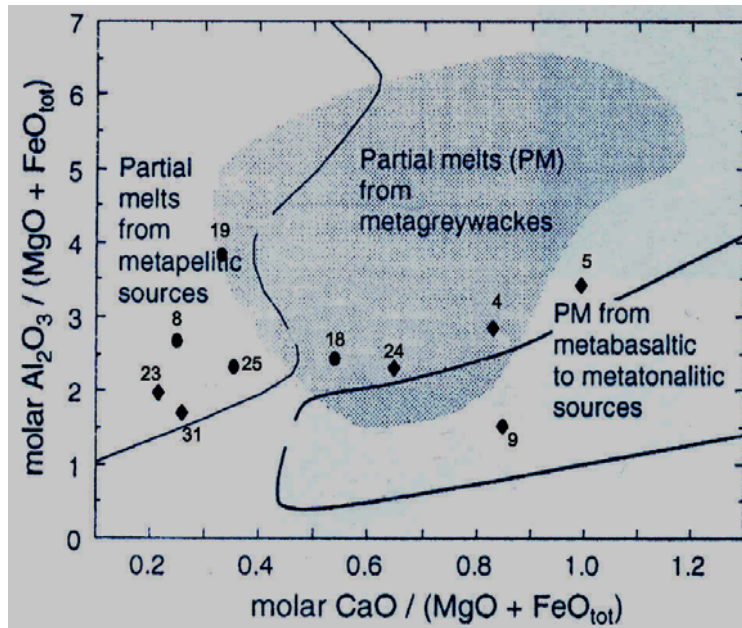


شکل ۱۰- داده‌های توده بائه بر روی دیاگرام  $Rb-Y+Nb$  [۱۳] دیوریت =  $\blacklozenge$  بیوتیت گرانیت =  $\bullet$  گرانیت گرانیت‌دار =  $\blacktriangle$



شکل ۱۱- (a) نمودار عنکبوتی برای MORB، OIB، و جزایر قوسی (IAB) نرمالیزه شده براساس تامپسون و همکاران (۱۹۸۲) [اقتباس از ویلسون، ۱۹۸۹] (b) نمودار عنکبوتی دیوریت‌های بائه نرمالیزه شده براساس تامپسون و همکاران (۱۹۸۲)





شکل ۱۲- نمودار تشخیص سنگ منشأ سنگ‌های حاصل از ذوب بخشی [۵]، نمونه‌های گرانیتوئیدی بانه بر روی این دیاگرام ترسیم شده‌اند (شماره نمونه‌های جدول ۳ و ۴ بدون پیشوند GB آورده شده‌اند)  
 ♦ = بیوتیت گرانیت    ● = گرانیت  
 گارنت‌دار

جدول ۵- تفاوت نسبت  $CaO/Na_2O$  در نمونه‌های گرانیتوئیدی توده بانه و مقایسه سنگ منشأ آن‌ها  
 G = سنگ منشأ گری وکی    P = سنگ منشأ پلیتی

|                       |       |       |       |       |       |       |       |       |       |       |
|-----------------------|-------|-------|-------|-------|-------|-------|-------|-------|-------|-------|
|                       | GB4   | GB5   | GB9   | GB23  | GB24  | GB31  | GB8   | GB18  | GB19  | GB25  |
| CaO/Na <sub>2</sub> O | 0.965 | 0.905 | 1.859 | 0.151 | 0.683 | 0.243 | 0.202 | 0.525 | 0.276 | 0.307 |
| Source                | G     | G     |       | P     | G     | P     | P     | G     | P     | P     |

### نتیجه‌گیری

واحدهای دیوریت، بیوتیت گرانیت و گرانیت گارنت‌دار سه فاز اصلی تشکیل دهنده توده نفوذی بانه‌اند. دیوریت قدیمی‌ترین واحد و سرشار از آمفیبول و فلدسپار است و گوشته غنی‌شده بالای منطقه فرورانش یا پوسته اقیانوسی فرورانده شده منشأ احتمالی تشکیل این دیوریت‌ها است. بیوتیت گرانیت که حجم اصلی توده را تشکیل می‌دهد، عامل اصلی ایجاد دگرگونی مجاورتی در سنگ‌های اطراف است که با توجه به داده‌های ژئوشیمیایی و پتروگرافی می‌توان دریافت سنگ منشأ تشکیل دهنده بخش‌های گوناگون این واحد متفاوت است به طوری که بخشی از توده حاصل ذوب‌بخشی متاپلیت‌ها و سایر بخش‌ها حاصل ذوب‌بخشی متاگری وک‌ها است. گرانیت‌های گارنت‌دار جوان‌ترین واحد سازنده‌اند که از ذوب‌بخشی متاپلیت‌ها حاصل شده‌اند.

### منابع

- ۱- درویش زاده، علی، زمین‌شناسی ایران، انتشارات نشر دانش امروز (۱۳۷۰).
- ۲- فنودی، محمد و صادقی، اصغر، نقشه زمین‌شناسی ۱:۱۰۰۰۰۰ بانه، سازمان زمین‌شناسی و اکتشافات معدنی کشور (۱۳۸۱).

- ۳- قلمقاش، جلیل، پترولوژی سنگ‌های نفوذی منطقه ارومیه - اشنویه و بررسی سازوکار جایگیری آن‌ها، رساله دکتری، دانشگاه شهید بهشتی تهران (۱۳۸۱).
- ۴- مظهری، سید علی، مطالعه پترولوژی و ژئوشیمی توده‌های آذرین غرب بانه (کردستان)، پایان نامه کارشناسی ارشد، دانشگاه تربیت معلم تهران (۱۳۸۲).
5. R. Altherr, A. Holl, E. Hegner, C. Langer, H. Kauzer, High Potassium, Calc-Alkaline I type Plutonism in the European Varficidef..., *Lithos*, 50(2000) 51-73.
6. B.W. Chapplell, A.J.R. White, I-and S- type Granites in the Lachelan Fold Belt, *Transactions of the Royal Society of Edinburgh Earth Sciences*, 83(1992) 1-26.
7. B.W. Chappell, A.J.R. White, Two Constrasting Granite types: 25 years later, *Australian Journal of Earth Science*, 48 (2001) 489-499.
8. E.C. Ferre, R. Caby, J.J. Peucat, R. Capdevila, P. Monie, Pan-African, Post-Collisional Ferro-Potassic Granite and Quartz-Monzonite Plutons of Eastern Nigeria, *Lithos*, 45 (1998) 255-279 .
9. N.B.W. Harris, S. Inger, Trace Element Modelling of Pellite-Derived Granites, *Contrib. Mineral. Petrol*, 110(1992) 46-56.
10. T.N. Irvin, W.R.A. Baragar, A guid to Chemical Classification of the Common Volcanic Rocks, *Can. J. Earth sci.* ( 1971) 523-548.
11. M.J. Le Bas, A.I. Sterckeisen, The IUGS Systematic of Igneous Rocks, *Journal of Geological Society*, London, 148 (1991) 825-833.
12. E.A.K. Middlemost, *Magmas and Magmatic rocks, An Introduction to Iigneous Petrology*, Longman Ed (1987).
13. J. Pearce, Sources and Settings of Granitic Rocks, *Episodes*, 19 (1996)120-125.
14. Rollinson, Hugh, using Geochemical data: Evolution, Presentation, Interpretation, Longman (1993).
15. B. Scaillet, G. Prouteau, Oceanic Slabl Melting and Mantle Metasomatism, *Science Progress*, 84 (2001) 335-354.
16. P.J. Sylvester, Post-Collisional Strongly Peraluminous Granites, *Lithos*, 45 (1998) 29-44.
17. M.J. Wilson, *Igneous Petrogenesis A Global Tectonic Approach*, London (1989).